



SISTHAEMA

HEVO
T

LA NUOVA ERA

SISTHAEMA HEVO+T

è il risultato finale di un'approfondita analisi delle innovazioni scientifiche e dell'applicazione di tecnologie produttive sofisticate e brevettate, applicate in un gel di:

- **Acido ialuronico di grado farmaceutico di elevatissima purezza.**

L'idea innovativa ed esclusiva si fonda su:

- **Trealosio e Acido Ialuronico in Sinergia**
- **Selective Spectrum Technology[®]**
- **Frammenti di Acido Ialuronico**

OGGI STAI ENTRANDO
NELLA NUOVA ERA
DELLA RIGENERAZIONE
DERMICA





TREALOSIO E ACIDO IALURONICO IN SINERGIA

- La combinazione di Trealosio e Acido ialuronico produce una intensa e prolungata rigenerazione dermica;
- Il Trealosio presente in SISTHAEMA HEVO T è in grado di stabilizzare l'Acido ialuronico, legandosi alle sue catene e proteggendolo dalla degradazione enzimatica e dall'ossidazione;
- Il Trealosio è un disaccaride che si ottiene dalla condensazione di due molecole di glucosio.

La **combinazione di Trealosio e Acido ialuronico** agisce in maniera sinergica, consentendo un'azione intensa, incomparabilmente superiore a quella svolta dall'Acido ialuronico da solo.

UNA SINERGIA
ESCLUSIVA,
INNOVATIVA E
BREVETTATA

SELECTIVE SPECTRUM TECHNOLOGY®

Selective Spectrum Technology®
si riferisce ad un processo avan-
zato, applicato esclusivamente a
SISTHAEMA HEVO+T.

- Questa tecnologia unica permette di mettere in evidenza spettri di diversi pesi molecolari di Acido ialuronico, invece di un singolo peso molecolare;
- Gli spettri rappresentano "serie" di vari pesi molecolari;
- La Selective Spectrum Technology® ci permette di selezionare lo spettro più idoneo per il target terapeutico ricercato.

HYALURONANS 2.0

FRAMMENTI DI ACIDO IALURONICO

La frammentazione delle catene lunghe lineari di Acido ialuronico, in porzioni ben definite comprese tra 20 e 38 monomeri, garantisce la stimolazione massiva dei recettori CD 44, generando un'intensa sintesi di collagene reticolato

HYALURONANS 2.0

PERCHÉ SISTHAEMA HEVO T È DIFFERENTE?

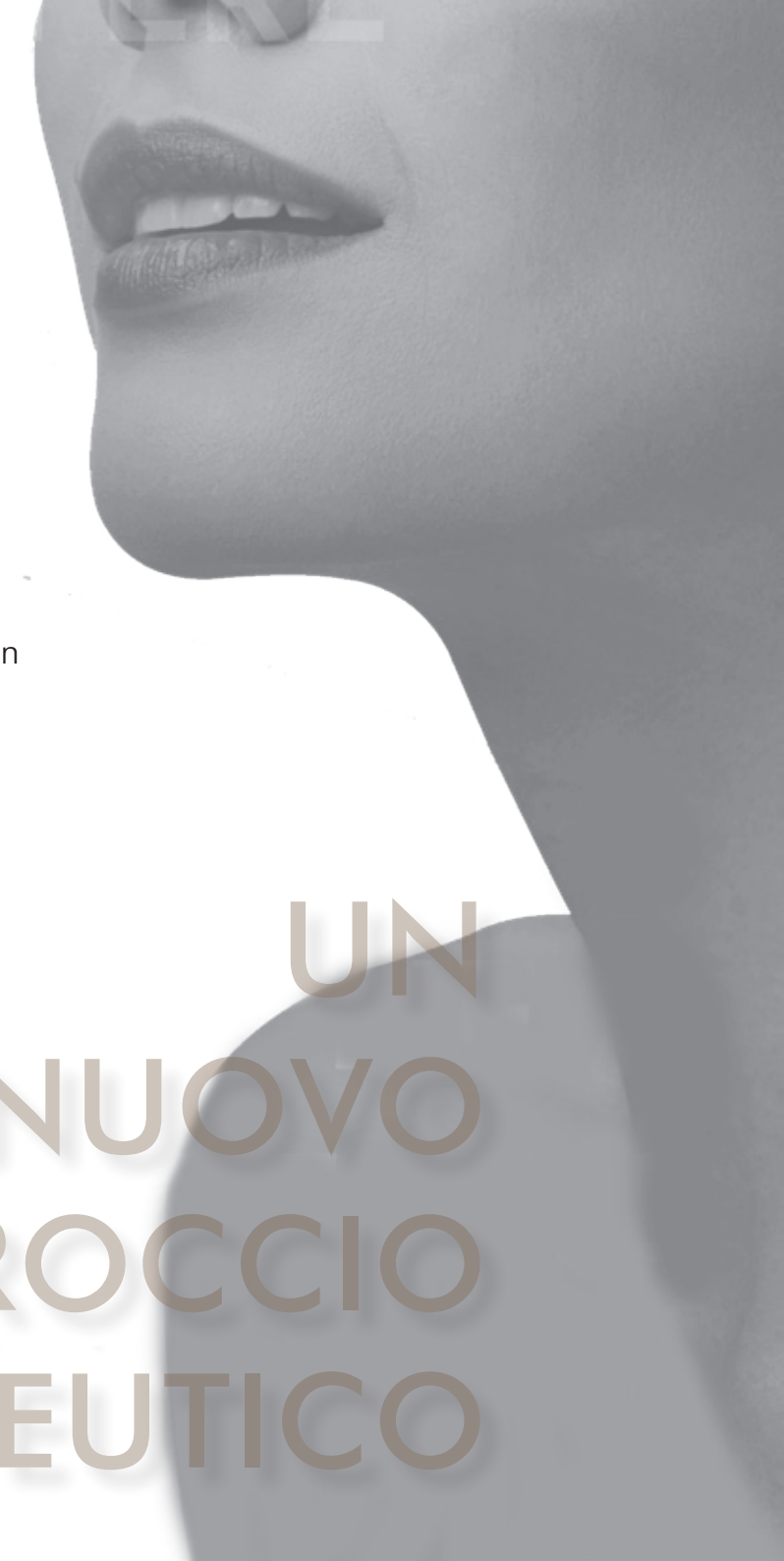
SISTHAEMA HEVO T si differenzia da tutti i tradizionali prodotti bio-revitalizzanti e bio-stimolanti comunemente usati per i suoi reali effetti di rigenerazione dermica



La superiorità di SISTHAEMA HEVO T è ancora più chiara quando viene paragonato a prodotti contenenti acido polilattico o altre sostanze dagli effetti simili; tali prodotti stimolano i recettori CD 39 e CD 40, pertanto incrementano prevalentemente la produzione di collagene fibrotico di tipo I.

SISTHAEMA HEVO T, al contrario, è in grado di stimolare i recettori CD 44, permettendo la sintesi di collagene reticolato di tipo III.

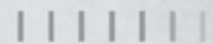
UN
NUOVO
APPROCCIO
TERAPEUTICO



UN NUOVO APPROCCIO TERAPEUTICO

SISTHAEMA HEVO+T è un prodotto unico, che introduce un nuovo particolare approccio terapeutico:
La Dermo Rigenerazione Sistemica.

LA DERMO RIGENERAZIONE SISTEMICA



LA DERMO RIGENERAZIONE SISTEMICA

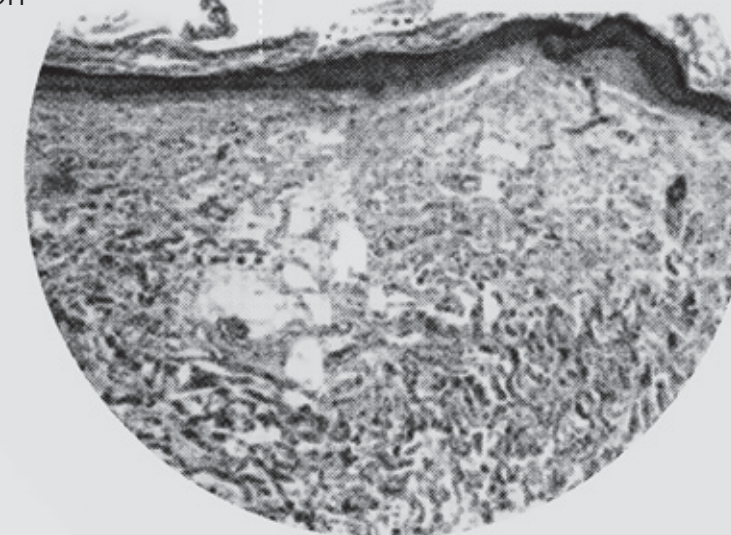
L'effetto estetico della
Dermo Rigenerazione Sistemica è
visibile subito dopo il primo trattamento,
con un forte effetto idratante e tensivo

Una più intensa azione rigenerativa
mostrerà i suoi effetti crescenti nel
tempo;

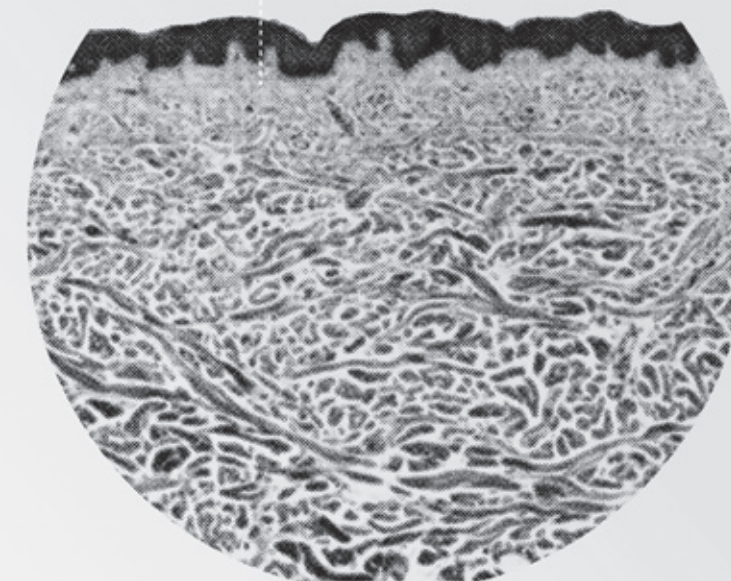
La rigenerazione continua e dura per
settimane dopo il trattamento;

Sensibili Miglioramenti, evidenziabili
anche a livello istologico, si possono
notare già dopo il primo trattamento
con **SISTHAEMA HEVO T**

6 ore dopo l'infiltrazione con
SISTHAEMA HEVO T



15 giorni dopo l'infiltrazione con
SISTHAEMA HEVO T



LA DERMO RIGENERAZIONE SISTEMICA

PROTOCOLLO APPLICATIVO

Un prodotto così specifico
richiede una procedura
altrettanto specifica

Iniezioni nel sottocutaneo,
tessuto connettivo, ad una
profondità di 2,5 - 3,0 mm,
utilizzando una tecnica
lineare retrograda, con
rilascio di circa 0,1 ml di
prodotto per ciascuna
iniezione.

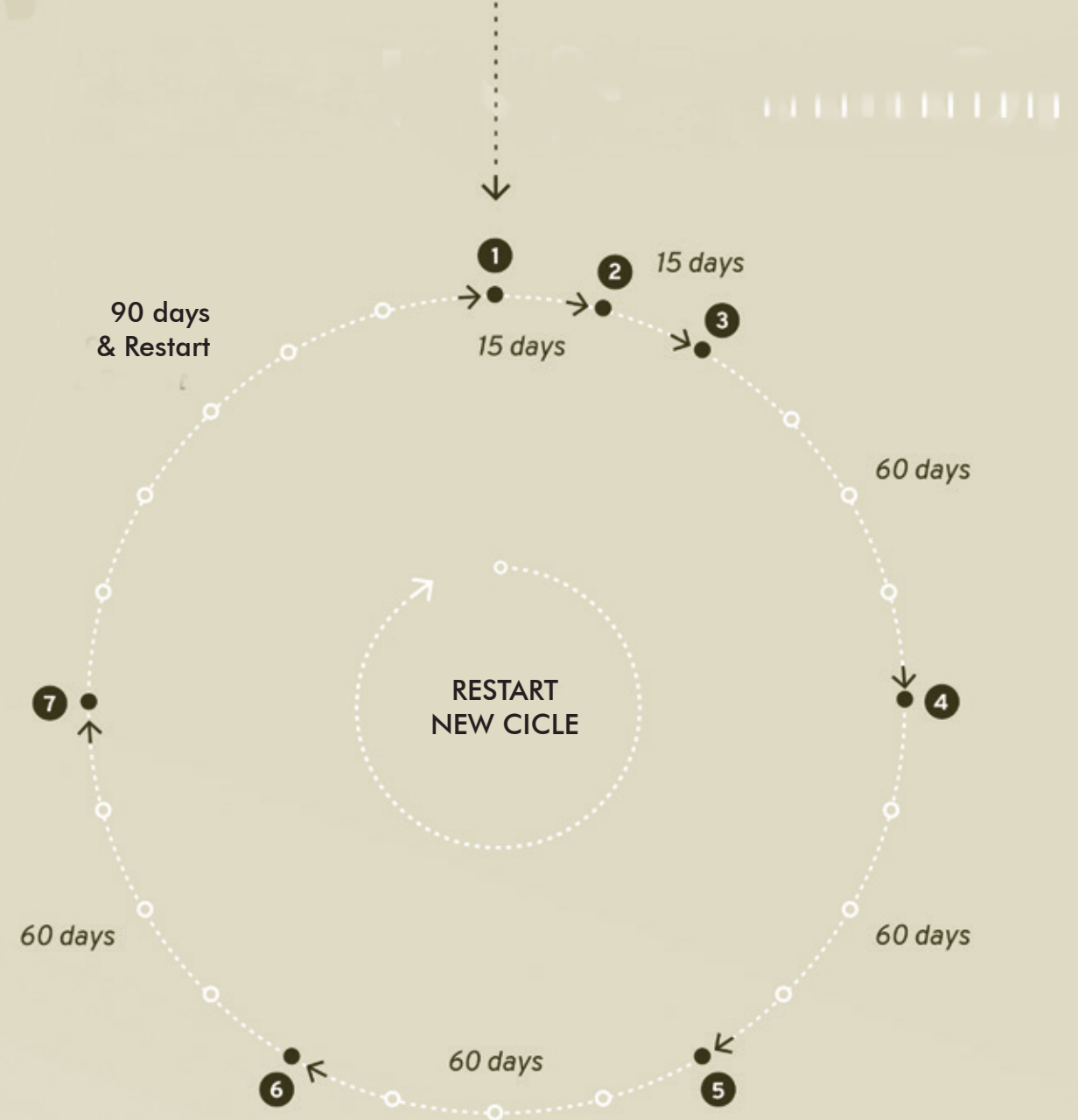
LA DERMO RIGENERAZIONE SISTEMICA

PROTOCOLLO APPLICATIVO

In media, a seconda della condizione della pelle e del grado di Crono Foto-invecchiamento, il paziente necessiterà di tre trattamenti con intervalli fra loro di 2-3 settimane, per risultati ideali.

I successivi richiami dovranno essere effettuati ogni 60 giorni, dopo l'ultimo trattamento.

È consigliabile ripetere questo protocollo di applicazione ogni anno.



- | | |
|------------------|--|
| 1 1° Trattamento | 4 1° Richiamo (un singolo trattamento) |
| 2 2° Trattamento | 5 2° Richiamo (un singolo trattamento) |
| 3 3° Trattamento | 6 3° Richiamo (un singolo trattamento) |
| | 7 4° Richiamo (un singolo trattamento) |

LA DERMO RIGENERAZIONE SISTEMICA

TENSE TECHNIQUE

La TENSE TECHNIQUE è una nuova procedura di iniezione sviluppata esclusivamente per SISTHAEMA HEVO T;

La TENSE TECHNIQUE è nata grazie alla collaborazione con importanti Università e qualificati Opinion Leaders internazionali;

- La TENSE TECHNIQUE amplifica le caratteristiche uniche di SISTHAEMA HEVO T aumentando l'efficacia del prodotto nelle sue proprietà rigenerative e di lifting.

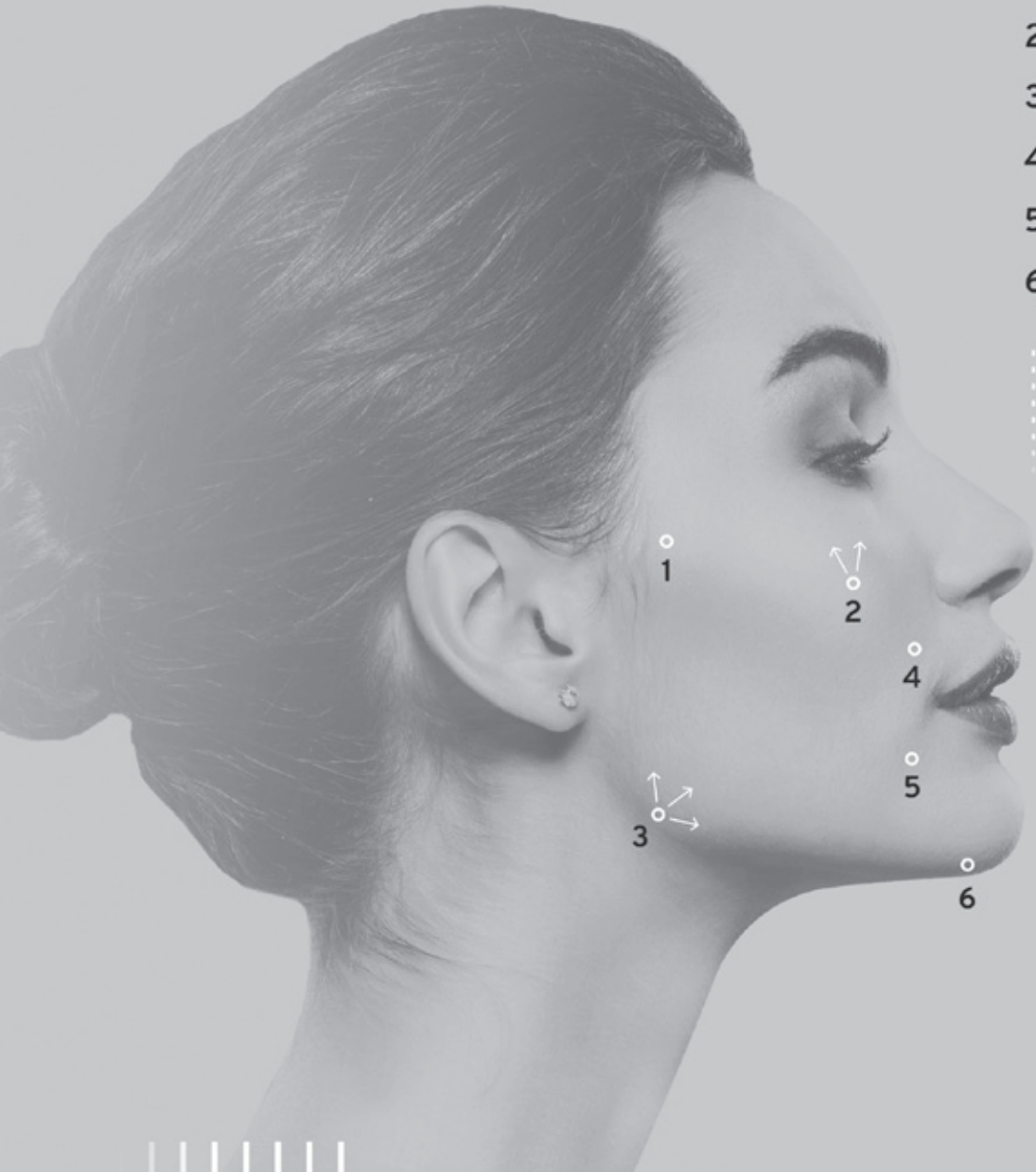
TENSE TECHNIQUE

TENSE TECHNIQUE

PROTOCOLLO APPLICATIVO

le aree da trattare sono le seguenti:

- 1 *Processo Zigomatico*
- 2 *Osso Zigomatico*
- 3 *Angolo Mandibolare*
- 4 *Pliche Nasolabiali*
- 5 *Rughe della Marionetta*
- 6 *Area Mentoniera*



- Le aree 1, 4, 5 e 6 devono essere trattate con una singola iniezione ciascuna;
- L'area 2 può essere approcciata con due iniezioni distinte oppure con la tecnica a ventaglio;
- L'area 3, allo stesso modo, può essere trattata con tre iniezioni distinte oppure con la tecnica a ventaglio;
- Alla fine del trattamento, si può applicare un leggero massaggio per facilitare una distribuzione più omogenea di **SISTHAEMA HEVO T** nell'intera area malare.

Questa tecnica deve essere applicata seguendo lo stesso protocollo e intervalli di tempo mostrati in precedenza per tecniche standard.

CARATTERISTICHE ANALITICHE

Test/caratteristiche	Limiti di tolleranza	Metodo
Identificazione	Conforme	Eur. Ph. Monograph 2011: 1472
Analisi del Trealosio	10 mg/ml	Eur. Ph. Monograph 2011: 1472
Analisi del Sodio laluronato	25,0 mg/ml	Eur. Ph. Monograph 2011: 1472
Peso molecolare del Sodio laluronato	1,5 MDa	Eur. Ph. Monograph 2011: 1472 - 188Q&Q
Viscosità intrinseca	2,4 - 3,3 m ³ /kg	Eur. Ph. Monograph 2011: 1472
Aspetto della soluzione	Trasparente; Assorbanza ₆₀₀ ≤ 0,01	Eur. Ph. Monograph 2011: 1472
Ph.	6,8 - 7,6	Eur. Ph. Monograph 2011: 1472
Sterilità	Sterile	Eur. Ph. 2.6.1
Test per endotossine	Non oltre 0,5 EU/ml	Eur. Ph. 2.6.14 Method D

SISTHAEMA

HEVO
+T

Una siringa da 2 ml contiene:

Acido ialuronico non cross-linkato 50 mg

Trealosio 20 mg



I FONDAMENTI DI SISTHAEMA HEVO ^T

1/2

Esterified Trehalose Analogues Protect Mammalian Cells from Heat Shock.
Bragg JT et al. *Chembiochem.* (2017)

Genetics of trehalose biosynthesis in desert-derived *Aureobasidium melanogenum* and role of trehalose in the adaptation of the yeast to extreme environments.

Jiang H et al. *Curr Genet.* (2018)

Impact of trehalose on the activity of sodium and potassium chloride in aqueous solutions: Why trehalose is worth its salt.

Poplinger M et al. *Food Chem.* (2017)

Trehalose: is it a potential inhibitor of antithrombin polymerization?

Martínez-Martínez I.

Biosci Rep. 2019 May 30. pii: BSR20190567. doi: 10.1042/BSR20190567. [Epub ahead of print]

Long-term nitrogen removal performance and kinetics of anaerobic ammonia oxidation bacteria (AnAOB) treating nitrogen-rich saline wastewater with trehalose addition.

Bai L, Li J, Li R, Wang J, Wang D.

Water Environ Res. 2019 May 29. doi: 10.1002/wer.1152.

Computational spectroscopy of trehalose, sucrose, maltose, and glucose:

A comprehensive study of TDSS, NQR, NOE, and DRS.

Heid E, Honegger P, Braun D, Szabadi A, Stankovic T, Steinhauser O, Schröder C.

J Chem Phys. 2019 May 7;150(17):175102. doi: 10.1063/1.5095058.

Mechanism of Trehalose-Induced Protein Stabilization from Neutron Scattering and Modeling.

Olsson C, Genheden S, García Sakai V, Swenson J.

J Phys Chem B. 2019 May 2;123(17):3679-3687. doi: 10.1021/acs.jpcc.9b01856. Epub 2019 Apr 18.

Hydrodynamic volume of trehalose and its water uptake mechanism.

Sakhaee N, Sakhaee S, Takallou A, Mobaraki A, Maddah M, Moshrefi R.

Biophys Chem. 2019 Jun;249:106145. doi: 10.1016/j.bpc.2019.03.002. Epub 2019 Apr 2.

Sugar metabolism as input signals and fuel for leaf senescence.

Kim J.

Genes Genomics. 2019 Mar 16. doi: 10.1007/s13258-019-00804-y. [Epub ahead of print] Review.

Protection against Dehydration: A Neutron Diffraction Study on Aqueous Solutions of a Model Peptide and Trehalose.

Di Gioacchino M, Bruni F, Ricci MA.

J Phys Chem B. 2018 Nov 15;122(45):10291-10295. doi: 10.1021/acs.jpcc.8b08046. Epub 2018 Nov 5.

I FONDAMENTI DI SISTHAEMA HEVO ^T

1/2

Effect of Hyaluronic Acid/Trehalose in Two Different Formulations on Signs and Symptoms in Patients with Moderate to Severe Dry Eye Disease.
Fondi K, Wozniak PA, Schmidl D, Bata AM, Witkowska KJ, Popa-Cherecheanu A, Schmetterer L, Garhöfer G.
J Ophthalmol. 2018 Aug 1;2018:4691417. doi: 10.1155/2018/4691417.
eCollection 2018.

Synergy between the small intrinsically disordered protein Hsp12 and trehalose sustain viability after severe desiccation.
Kim SX, Çamdere G, Hu X, Koshland D, Tapia H.
Elife. 2018 Jul 16;7. pii: e38337. doi: 10.7554/eLife.38337.

Trehalose improves human fibroblast deficits in a new CHIP-mutation related ataxia.
Casarejos MJ, Perucho J, López-Sendón JL, García de Yébenes J, Bettencourt C, Gómez A, Ruiz C, Heutink P, Rizzu P, Mena MA.
PLoS One. 2014 Sep 26;9(9):e106931. doi: 10.1371/journal.pone.0106931.
eCollection 2014.

Fibroblast heterogeneity in physiological conditions and fibrotic disease.
Casarejos MJ, Jelaska A., Strehlow D., Korn JH.
Springer Semin Immunopathol, 1999; 21(4): 385-05.

Quantification of type I and III collagen content in normal human skin in different age groups.

Rong YH, Zhang GA, Wang C. Ning FG.
Zhonghua Shao Shang Za Zhi, 2008; 24(1): 51-3

Connective tissue growth factor gene regulation. Requirements for its induction by transforming growth factor-beta 2 in fibroblasts.

Leask A, Holmes A, Black CM, Abraham DJ.
J. Biol. Chem., 2003; 278(15), 13005-13. Epub 2003 Feb 5.

Hyaluronan affects protein and collagen synthesis by in vitro human skin fibroblasts.

Croce MA, Dyne K, Boraldi F, Quaglino D Jr, Cetta G, Tiozzo R, Pasquali ronchetti I, Tissue Cell, 2001; 33(4): 326-31.

BIBLIOGRAFIA



FROM SCIENCE
 TO PERFORMANCE
 THROUGH
 CUTTING-EDGE
 TECHNOLOGIES

LA DERMO RIGENERAZIONE SISTEMICA



PRAINATTI



FANHBLEY

PRAECLA S.p.A.

Roma - Piazza Mignanelli, 3 - Piazza di Spagna, 35
www.prainattifanhbley.com - info@prainattifanhbley.com